Клиническая значимость стабилометрического исследования в стоматологии

К.м.н., доц. Е.А. СОЛОВЫХ 1 *, д.м.н., проф. Л.Н. МАКСИМОВСКАЯ 1 , к.м.н., асс. Е.П. ИВАНОВА 1 , к.м.н., доц. Н.М. ФОКИНА 2

¹ФПДО ГБОУ ВПО «Московский государственный медико-стоматологический университет» Минздравсоцразвития России; ²ГБОУ ВПО «Первый московский государственный медицинский университет им. И.М. Сеченова»

The clinical significance of the stabilometric studies in stomatology

E.A. SOLOVYKH, L.N. MAKSIMOVSKAYA, E.P. IVANOVA, N.M. FOKINA

Moscow State Medical Stomatological University, Russian Ministry of Health and Social Development; I.M. Sechenov First Moscow State Medical University

Проведен кластерный анализ результатов стабилометрического исследования у 251 пашиента (129 мужчин, 122 женшины) в возрасте от 20 до 60 лет. Исследование проводили 4 методами: Европейский вариант стабилометрии, тест Ромберга (Европейский вариант), тест Ромберга (Американский универсальный вариант). Согласно результатам кластерного анализа, все 4 метода имеют практически одинаковую диагностическую информативность. Наиболее объективными являются абсолютные и относительные параметры стабилометрии, что обосновывает необходимость их применения в клинической практике. Частотные и амплитудные параметры стабилометрии не имеют диагностического значения. Европейский вариант стабилометрии наиболее пригоден для практического применения и дает информацию о функциональном состоянии глазного, зубочелюстного и других компонентов постуральной системы.

Ключевые слова: стабилометрия, кластерный анализ, методы стабилометрии.

We undertook a cluster analysis of the results of stabilometry in 251 patients (129 men and 122 women) aged between 20 and 60 years. The following four stabilometric techniques were used for the purpose: the European method, Romberg's test (the European version), Romberg's test (the American version), and Romberg's test (the American universal method). The cluster analysis has demonstrated that all the four methods of stabilometry are equally informative and have the identical diagnostic value. The most objective stabilometric parameters to be used in stomatological practice are absolute and relative values which makes them preferable for the clinical application. The frequency and amplitude characteristics are of no diagnostic significance. The European variant of stabilometry appears to be especially suitable for practical applications since it provides the most adequate information about the functional state of the ophthalmic, dentoalveolar, and other components of the postural system.

Key words: stabilometry, cluster analysis, stabilometric techniques.

Учитывая полисистемный характер регулирования постурального баланса, его диагностика является сложной, но, безусловно, важной задачей при комплексном обследовании пациентов с нарушениями постурального равновесия. Клиническая постуральная диагностика, которой владеют высококвалифицированные неврологи, является сложной и требует профессиональных навыков. Объективно оценить и провести дифференциальную диагностику причин постуральных нарушений и позволяет метод компьютерной стабилометрии [1—7].

На сегодняшний день на рынке медицинской продукции существует довольно большое число стабилометрических платформ для проведения стаби-

лометрии. В соответствии с NORMES 1985 [10] большинство платформ регистрируют абсолютные, частотные и относительные показатели постуральной устойчивости пациента. Кроме того, некоторые разработки позволяют исследователю получить дополнительные параметры стабилометрии за счет компьютерного анализа результатов стабилометрического исследования. Общепринятыми являются методы стабилометрии: TPEB — тест Ромберга (Европейский вариант); EB — Европейский вариант стабилометрии, TPAУ — тест Ромберга (Американский универсальный вариант); TPAВ — тест Ромберга (Американский вариант). Наряду с указанными тестами существует огромное количество допол-

^{*}E-mail: solovykh75@gmail.ru

нительных методик стабилометрического исследования; стабилометрический комплекс фирмы «МБН» позволяет получить 16 количественных показателей. Стабилометрия в связи с трудностями интерпретации большого объема информации, получаемой в результате соблюдения протокола исследования, не имеет широкого распространения в практике. Не разработана методика оценки влияния функционального состояния зубочелюстной системы на постуральный баланс.

Цель исследования: определить информативность различных параметров и методик стабилометрии с помощью кластерного анализа; обосновать оптимальный алгоритм стабилометрической дифференциальной диагностики постуральных нарушений для практического применения в неврологии и стоматологии.

Материал и методы

Проведено комплексное обследование 251 пациента: 129 (51,39%) мужчин и 122 (48,61%) женщины в возрасте от 20 до 60 лет.

Критериями невключения пациентов в исследование были:

- полное отсутствие зубов;
- острые общесоматические заболевания;
- обострение хронических заболеваний;
- инфаркт миокарда в предшествующие исследованию 6 мес;
 - психические расстройства;
 - алкогольная и наркотическая зависимость.

Стабилометрическое исследование

Стабилометрическое исследование проводили на компьютерном стабилоанализаторе с биологической обратной связью «Стабилометр МБН» (стабилоанализатор — стабилометрическая платформа) и программно-методическом обеспечении «Стабилометрия МБН».

Стабилометрическое исследование выполняли в соответствии с основными требованиями, которые были собраны и сформулированы в рекомендациях Международного общества исследования основной стойки [9].

Исследование проводилось в европейском варианте (в положении «пятки — вместе, носки — врозь») и американском варианте (стопы ног параллельны и расположены на ширине плеч) установки пациента на платформу. Во время исследования пациент стоял на платформе спокойно (в естественной, привычной для него позе), руки вдоль туловища.

Для исследования влияния окклюзии зубов на постуральный баланс использовались следующие пробы:

- «глаза открыты, нижняя челюсть в свободном положении»;
 - «глаза открыты, зубы сомкнуты»;
- «глаза закрыты, нижняя челюсть в свободном положении;
 - «глаза закрыты, зубы сомкнуты».

Результаты кластерного анализа и их обсуждение

Стандартизованная матрица результатов стабилометрического исследования подвергнута кластерному анализу методом «средних кластеров», который позволяет сформировать группы параметров, наиболее близких друг к другу по значению и весу [4].

Информативность параметра определяли с помощью опции дисперсионного анализа в методе кластерного анализа. Информативными считали параметры, уровень значимости дисперсии которых не превышал заданное значение p=0,05. Матрица была подвержена кластерному анализу дважды, после чего из анализа были исключены параметры, уровень значимости дисперсии которых превысил p=0,05.

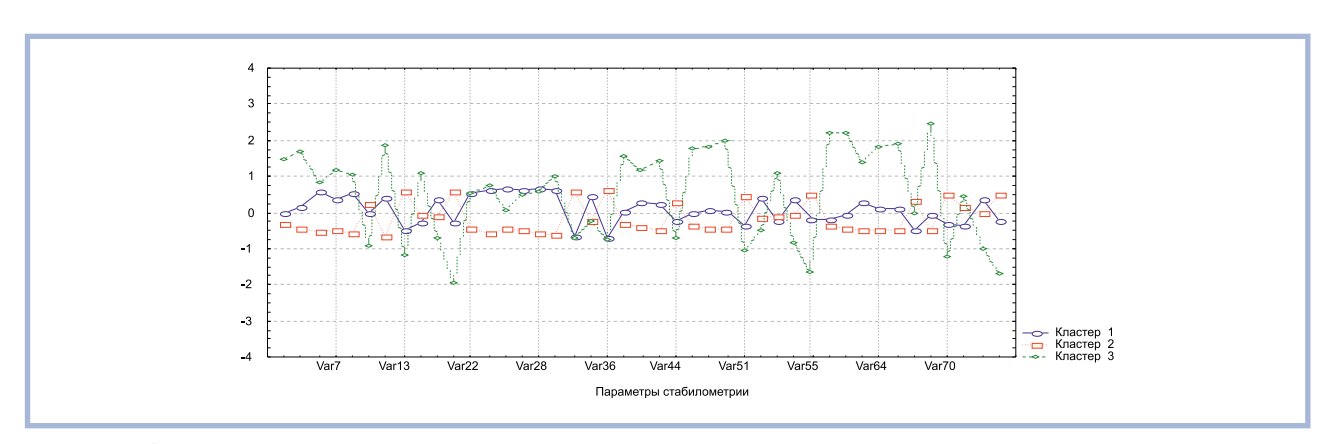


Рис. 1. График кластеризации параметров стабилометрии при пробе «глаза открыты, нижняя челюсть в свободном положении».

Таблица 1. Результаты кластерного анализа показателей стабилометрии — состав 3 кластеров (проба «глаза открыты, нижняя челюсть в свободном положении»)

Параметр	Обозначение (еди- ница измерения)	Методика	Удаленность от центра кластера
Кластер 1			
Среднеквадратическое отклонение ОЦД во фронтальной плоскости	<i>x</i> (мм)	TPEB	0,842
Скорость ОЦД	V(mm/c)	TPEB	0,579
Амплитуда 1-го максимума спектра по фронтальной составляющей	Ха1 (мм)	TPEB	0,746
Среднеквадратическое отклонение ОЦД во фронтальной плоскости	х (мм)	TPEB	0,633
Среднеквадратическое отклонение ОЦД во фронтальной плоскости	х (мм)	EB	0,574
Среднеквадратическое отклонение ОЦД в сагиттальной плоскости	у (мм)	EB	0,597
Скорость ОЦД	V(mm/c)	EB	0,634
Амплитуда 1-го максимума спектра по фронтальной составляющей	Ха1 (мм)	EB	0,597
Амплитуда 1-го максимума спектра по сагиттальной составляющей	<i>Ya</i> 1 (мм)	EB	0,602
Площадь статокинезиограммы 90	S90 (MM ²)	EB	0,516
Кластер 2	, ,		
Среднеквадратическое отклонение ОЦД в сагиттальной плоскости	y (MM)	TPEB	0,731
Амплитуда 1-го максимума спектра по сагиттальной составляющей	<i>Ya</i> 1 (мм)	TPEB	0,777
Амплитуда 1-го максимума спектра по вертикальной составляющей	<i>XaZ</i> 1 (кг)	TPEB	0,779
Среднеквадратическое отклонение ОЦД во фронтальной плоскости	<i>x</i> (MM)	ТРАУ	0,717
Среднеквадратическое отклонение ОЦД в сагиттальной плоскости	у (мм)	ТРАУ	0,790
Скорость ОЦД	V(MM/c)	ТРАУ	0,667
Среднеквадратическое отклонение ОЦД во фронтальной плоскости	x (MM)	ТРАУ	0,717
Среднеквадратическое отклонение ОЦД в сагиттальной плоскости	у (мм)	ТРАУ	0,529
Площадь статокинезиограммы 95	S95 (MM ²)	ТРАУ	0,529
Амплитуда 1-го максимума спектра по вертикальной составляющей	<i>XaZ</i> 1 (кг)	ТРАУ	0,747
Среднеквадратическое отклонение ОЦД во фронтальной плоскости	x (MM)	TPAB	0,652
Среднеквадратическое отклонение ОЦД в сагиттальной плоскости	y (MM)	TPAB	0,598
Скорость ОЦД	V(MM/c)	TPAB	0,764
Амплитуда 1-го максимума спектра по фронтальной составляющей	Ха1 (мм)	TPAB	0,731
Амплитуда 1-го максимума спектра по сагиттальной составляющей	Ya1 (MM)	TPAB	0,546
Площадь статокинезиограммы 90	S90 (MM ²)	TPAB	0,501
Амплитуда 1-го максимума спектра по вертикальной составляющей	<i>XaZ</i> 1 (кг)	TPAB	0,990
Кластер 3	Auzi (Ki)	IIAD	-,
Уровень 60% мощности спектра во фронтальной плоскости	xf60% (Гц)	TPEB	0,956
Отношение длины статокинезиограммы к ее площади	LFS90 (1/MM)	TPEB	0,801
Уровень 60% мощности спектра по вертикальной составляющей	xfZ% (Гц)	TPEB	0,796
Показатель стабильности	Stab (%)	TPEB	0,728
Отношение длины статокинезиограммы к ее площади	LFS90 (1/mm)	EB	0,838
Частота 1-го максимума спектра по вертикальной составляющей	<i>XfZ</i> 1 (Гц)	EB	0,909
Показатель стабильности	Stab (%)	EB	0,854
Частота 1-го максимума спектра по фронтальной составляющей	<i>Xf</i> 1 (Гц)	ТРАУ	0,904
1 11	<i>Д</i> Г (ГЦ) <i>LFS</i> 95 (1/мм)	ТРАУ	0,736
Отношение длины статокинезиограммы к ее площади Частота 1-го максимума спектра по вертикальной составляющей	. , ,	ТРАУ	0,873
частота 1-то максимума спектра по вертикальной составляющей Уровень 60% мощности спектра по вертикальной составляющей	XfZ1 (Гц)		0,793
уровень 60% мощности спектра по вертикальнои составляющеи Показатель стабильности	xfZ% (Гц) Stab (%)	ТРАУ	0,678
	(,	ТРАУ	1,043
Уровень 60% мощности спектра во фронтальной плоскости Отчення по при	xf60% (Гц)	TPAB	0,694
Отношение длины статокинезиограммы к ее площади	LFS95 (1/MM)	TPAB	0,752
Уровень 60% мощности спектра по вертикальной составляющей	$xfZ\%$ (Γ _{Π})	TPAB	0,735
Показатель стабильности	Stab (%)	TPAB	0,733

На первом этапе были заданы следующие параметры кластеризации: число кластеров — 3; повторения (iteration) — 10. На втором этапе параметры кластеризации соответствовали: число кластеров — 4; повторения (iteration) — 10.

При сравнении кластеров (групп) параметров стабилометрии выявлено, что формирование кла-

стера 4 происходит за счет деления одного из кластеров, полученного при формировании трех кластеров. При этом полученный результат кластеризации не является более информативным для клинического использования. Т.е. кластеризация матрицы с числом кластеров более трех не имеет научного значения. Поэтому мы исходили из результата кластер-

ного анализа при количестве кластеров, равном трем.

Анализ состава кластеров, полученных при проведении проб, принятых в дизайне нашего исследования, свидетельствует, что результаты стабилометрии, полученные различными методиками (ЕВ, ТРАВ, ТРАУ), имеют одинаковую информативность. Следовательно, используемые методики позволяют получить сопоставимую информацию о постуральной устойчивости пациента.

Результаты дисперсионного анализа при кластеризации матрицы данных позволили выявить наименее информативные параметры стабилометрии, уровень дисперсии которых в общей характеристике постуральной устойчивости был ниже заданного уровня значимости p=0,05. В табл. 1 и на рис. 1 представлены результаты кластеризации параметров стабилометрии.

Таким образом, наиболее объективно и информативно постуральную устойчивость человека характеризуют параметры: частотные характеристики колебания центра давления, отклонения центра давления, площадь статокинезиограммы, показатель стабильности, скорость перемещения центра давления, амплитудные характеристики колебаний центра давления. При проведении пробы «глаза открыты, нижняя челюсть в свободном положении» (см. табл. 2) наиболее объективными параметрами ЕВ были параметры, сформировавшие кластер 1, менее информативные параметры сформировали кластер 2. Кластер 3 — наименее информативный. В основном в состав кластера 3 вошли относительные и частотные характеристики постуральной устойчивости пациента всех четырех методик стабилометрии. Параметры кластера 3 наиболее удалены от его центра, что и отражает их меньшее клиническое значение по сравнению с параметрами первых двух кластеров.

Результаты кластеризации параметров стабилометрии при пробе «глаза открыты, нижняя челюсть в свободном положении» могут быть использованы как исходные значения, относительно которых следует интерпретировать результаты исследования при проведении других проб.

Результаты кластеризации параметров стабилометрии при проведении пробы «глаза закрыты, нижняя челюсть в свободном положении» представлены в табл. 2 и на рис. 2.

Кластер 1, как и в пробе «глаза открыты, нижняя челюсть в свободном положении», образован абсолютными характеристиками постуральной устойчивости в основном ТРЕВ и ЕВ. В отличие от пробы «глаза открыты, нижняя челюсть в свободном положении», в кластере 1 представлено несколько параметров ТРАУ и ТРАВ.

В основном кластер 2 сформирован абсолютными параметрами постуральной устойчивости ТРАВ и ТРАУ, при этом сохраняется тенденция к большей удаленности этих параметров от центра кластера по сравнению с параметрами, сформировавшими кластер 1.

Кластер 3 образован частотными параметрами стабилометрии.

Результаты сходны с результатами кластеризации при проведении пробы «глаза открыты, нижняя челюсть в свободном положении»: фактор сформирован в основном относительными и частотными параметрами постуральной устойчивости всех четырех методик (ЕВ, ТРЕВ, ТРАУ и ТРАВ). Наибольшее число параметров относится к ТРАУ и ТРАВ, эти параметры наиболее удалены от центра кластера по сравнению с первыми двумя кластерами.

Результаты кластерного анализа при пробе «глаза открыты, зубы сомкнуты» представлены в табл. 3 и на рис. 3. Основными компонентами кластера 1 являются абсолютные параметры посту-

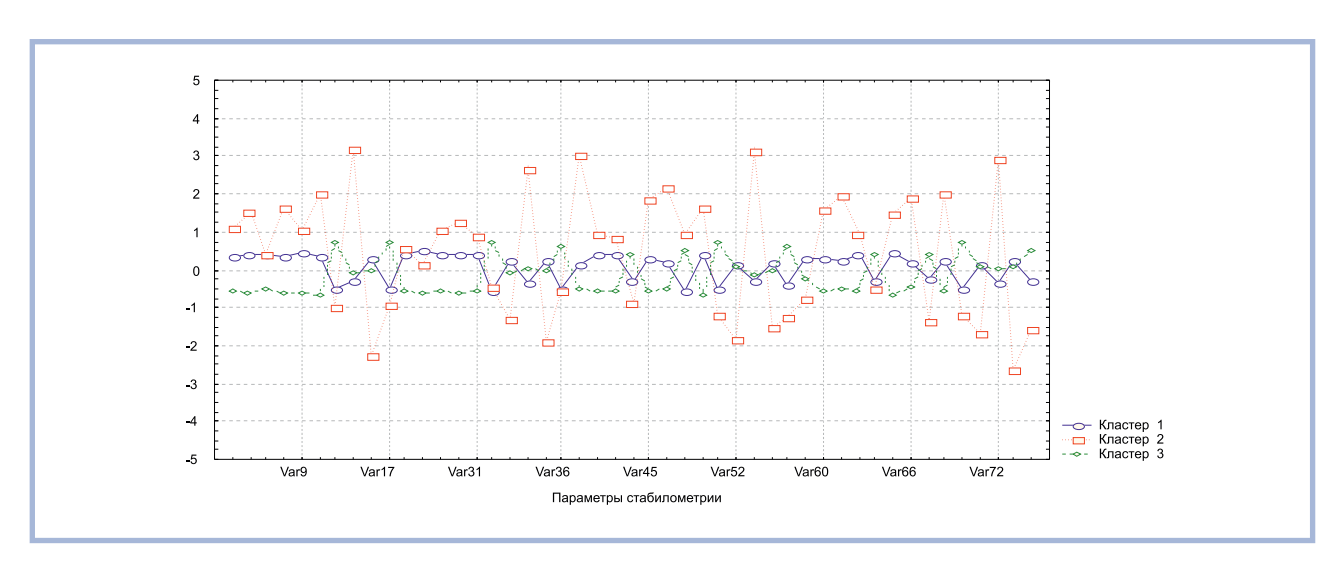


Рис. 2. График кластеризации параметров стабилометрии при пробе «глаза закрыты, нижняя челюсть в свободном положении».

Таблица 2. Результаты кластерного анализа показателей стабилометрии — состав 3 кластеров (проба «глаза закрыты, нижняя челюсть в свободном положении»)

Параметр	Обозначение (еди- ница измерения)	Методика	Удаленность от центра кластера
Кластер 1			
Среднеквадратическое отклонение ОЦД во фронтальной плоскости	<i>x</i> (мм)	TPEB	0,752
Среднеквадратическое отклонение ОЦД в сагиттальной плоскости	у (мм)	TPEB	0,585
Скорость ОЦД	V(MM/c)	TPEB	0,713
Амплитуда 1-го максимума спектра по фронтальной составляющей	Ха1 (мм)	TPEB	0,729
Амплитуда 1-го максимума спектра по сагиттальной составляющей	<i>Ya</i> 1 (мм)	TPEB	0,642
Площадь статокинезиограммы 90	S90 (mm²)	TPEB	0,492
Среднеквадратическое отклонение ОЦД во фронтальной плоскости	х (мм)	EB	0,614
Среднеквадратическое отклонение ОЦД в сагиттальной плоскости	у (мм)	EB	0,702
Амплитуда 1-го максимума спектра по фронтальной составляющей	Ха1 (мм)	EB	0,735
Амплитуда 1-го максимума спектра по сагиттальной составляющей	<i>Ya</i> 1 (мм)	EB	0,559
Площадь статокинезиограммы 90	S90 (мм²)	EB	0,563
Среднеквадратическое отклонение ОЦД в сагиттальной плоскости	у (мм)	ТРАУ	0,703
Скорость ОЦД	<i>V</i> (мм/с)	ТРАУ	0,682
Площадь статокинезиограммы 95	S95 (MM ²)	ТРАУ	0,663
Скорость ОЦД	V(MM/c)	TPAB	0,727
Кластер 2			
Амплитуда 1-го максимума спектра по вертикальной составляющей	<i>XaZ</i> 1 (кг)	TPEB	0,732
Амплитуда 1-го максимума спектра по вертикальной составляющей	<i>XaZ</i> 1 (кг)	EB	0,803
Среднеквадратическое отклонение ОЦД во фронтальной плоскости	х (мм)	ТРАУ	0,487
Амплитуда 1-го максимума спектра по фронтальной составляющей	Ха1 (мм)	ТРАУ	0,668
Амплитуда 1-го максимума спектра по сагиттальной составляющей	<i>Ya</i> 1 (мм)	ТРАУ	0,696
Амплитуда 1-го максимума спектра по вертикальной составляющей	<i>XaZ</i> 1 (кг)	ТРАУ	0,748
Среднеквадратическое отклонение ОЦД во фронтальной плоскости	<i>x</i> (мм)	TPAB	0,648
Среднеквадратическое отклонение ОЦД в сагиттальной плоскости	у (мм)	TPAB	0,650
Амплитуда 1-го максимума спектра по фронтальной составляющей	Ха1 (мм)	TPAB	0,683
Амплитуда 1-го максимума спектра по сагиттальной составляющей	Ya1 (MM)	TPAB	0,654
Площадь статокинезиограммы 95	S95 (MM ²)	TPAB	0,563
Амплитуда 1-го максимума спектра по вертикальной составляющей	<i>XaZ</i> l (кг)	TPAB	0,777
Кластер 3			,
Отношение длины статокинезиограммы к ее площади	<i>LFS</i> 90 (1/мм)	TPEB	0,776
Уровень 60% мощности спектра по вертикальной составляющей	xfZ% (Гц)	TPEB	0,761
Показатель стабильности	Stab (%)	TPEB	0,816
Отношение длины статокинезиограммы к ее площади	LFS90 (1/мм)	EB	0,770
Частота 1-го максимума спектра по вертикальной составляющей	<i>XfZ</i> 1 (Гц)	EB	0,833
Уровень 60% мощности спектра по вертикальной составляющей	xfZ% (Гц)	EB	0,785
Показатель стабильности	Stab (%)	EB	0,853
Частота 1-го максимума спектра по фронтальной составляющей	Xf1 (Гц)	ТРАУ	0,990
Уровень 60% мощности спектра во фронтальной плоскости	xf60% (Гц)	ТРАУ	0,970
Отношение длины статокинезиограммы к ее площади	<i>LFS</i> 95 (1/мм)	ТРАУ	0,681
Частота 1-го максимума спектра по вертикальной составляющей	ZfZ1 (Гц)	ТРАУ	0,770
Уровень 60% мощности спектра по вертикальной составляющей	хfZ% (Гц)	ТРАУ	0,836
Показатель стабильности	Stab (%)	ТРАУ	0,802
Среднее положение ОЦД в сагиттальной плоскости в американской новой СК	<i>Ya</i> 1 (мм)	ТРАУ	1,059
Частота 1-го максимума спектра по фронтальной составляющей	<i>Xf</i> 1 (Гц)	TPAB	0,919
Уровень 60% мощности спектра во фронтальной плоскости	xf60% (Гц)	TPAB	0,975
Отношение длины статокинезиограммы к ее площади	<i>LFS</i> 95 (1/мм)	TPAB	0,712
Частота 1-го максимума спектра по вертикальной составляющей	<i>XfZ</i> 1 (Гц)	TPAB	0,726
Уровень 60% мощности спектра по вертикальной составляющей	xfZ% (Гц)	TPAB	0,680
Показатель стабильности	Stab (%)	TPAB	0,779

Таблица 3. Результаты кластерного анализа показателей стабилометрии — состав 3 кластеров (проба «глаза открыты, зубы сомкнуты»)

Параметр	Обозначение (еди- ница измерения)	Методика	Удаленность от центра кластера
Кластер 1			
Скорость ОЦД	V(MM/c)	TPEB	0,610
Амплитуда 1-го максимума спектра по фронтальной составляющей	Ха1 (мм)	TPEB	0,560
Среднеквадратическое отклонение ОЦД во фронтальной плоскости	<i>x</i> (мм)	EB	0,592
Среднеквадратическое отклонение ОЦД в сагиттальной плоскости	<i>y</i> (мм)	EB	0,557
Скорость ОЦД	V(MM/c)	EB	0,575
Амплитуда 1-го максимума спектра по фронтальной составляющей	Ха1 (мм)	EB	0,616
Амплитуда 1-го максимума спектра по сагиттальной составляющей	<i>Ya</i> 1 (мм)	EB	0,701
Площадь статокинезиограммы 90	S90 (mm²)	EB	0,381
Кластер 2			
Отношение длины статокинезиограммы к ее площади	LFS90 (1/мм)	TPEB	0,567
Показатель стабильности	<i>Stab</i> (%)	TPEB	0,647
Среднее положение ОЦД во фронтальной плоскости в европейской СК	Хе (мм)	TPEB	0,766
Отношение длины статокинезиограммы к ее площади	LFS90 (1/MM)	EB	0,828
Показатель стабильности	<i>Stab</i> (%)	EB	0,828
Среднее положение ОЦД во фронтальной плоскости в европейской СК	Хе (мм)	EB	0,699
Частота 1-го максимума спектра по фронтальной составляющей	<i>Xf</i> 1 (Гц)	ТРАУ	0,870
Отношение длины статокинезиограммы к ее площади	<i>LFS</i> 95 (1/мм)	ТРАУ	0,765
Показатель стабильности	<i>Stab</i> (%)	ТРАУ	0,695
Среднее положение ОЦД во фронтальной плоскости в американской новой СК	<i>Xa</i> 1 (мм)	ТРАУ	0,810
Частота 1-го максимума спектра по фронтальной составляющей	<i>Xf</i> 1 (Гц)	TPAB	0,849
Отношение длины статокинезиограммы к ее площади	LFS95 (1/MM)	TPAB	0,708
Показатель стабильности	Stab (%)	TPAB	0,547
Среднее положение ОЦД во фронтальной плоскости в американской СК	Ха (мм)	TPAB	0,787
Кластер 3			
Среднеквадратическое отклонение ОЦД во фронтальной плоскости	x (MM)	TPEB	0,780
Среднеквадратическое отклонение ОЦД в сагиттальной плоскости	<i>y</i> (мм)	TPEB	0,617
Амплитуда 1-го максимума спектра по сагиттальной составляющей	<i>Ya</i> 1 (мм)	TPEB	0,530
Среднеквадратическое отклонение ОЦД во фронтальной плоскости	x (MM)	TPEB	0,499
Среднеквадратическое отклонение ОЦД во фронтальной плоскости	x (MM)	ТРАУ	0,662
Среднеквадратическое отклонение ОЦД в сагиттальной плоскости	<i>y</i> (мм)	ТРАУ	0,593
Скорость ОЦД	V(MM/c)	ТРАУ	0,593
Амплитуда 1-го максимума спектра по фронтальной составляющей	Ха1 (мм)	ТРАУ	0,656
Амплитуда 1-го максимума спектра по сагиттальной составляющей	<i>Ya</i> 1 (мм)	ТРАУ	0,600
Площадь статокинезиограммы 95	S95 (MM ²)	ТРАУ	0,537
Среднеквадратическое отклонение ОЦД во фронтальной плоскости	x (MM)	TPAB	0,798
Среднеквадратическое отклонение ОЦД в сагиттальной плоскости	<i>y</i> (мм)	TPAB	0,413
Скорость ОЦД	V(MM/c)	TPAB	0,578
Амплитуда 1-го максимума спектра по фронтальной составляющей	Ха1 (мм)	TPAB	0,802
Амплитуда 1-го максимума спектра по сагиттальной составляющей	<i>Ya</i> 1 (мм)	TPAB	0,445
Площадь статокинезиограммы 95	$S95 (\text{MM}^2)$	TPAB	0,546
Среднее положение ОЦД в сагиттальной плоскости в американской СК	<i>Ya</i> (мм)	TPAB	0,996

ральной устойчивости пациентов ЕВ и ТРЕВ. При этом сохраняется близость этих компонентов к центру кластера, т.е. информативность данных параметров на этапе эксперимента с сомкнутыми зубами остается высокой. При пробе «глаза открыты, зубы сомкнуты» кластер 2 сформирован частотными и относительными характеристиками постурального баланса методик стабилометрии ТРАУ и ТРАВ, при этом наблюдается увеличение дистанции этих параметров от центра кластера 2 по сравнению с кластером 1. Кластер 3 представлен пара-

метрами ТРЕВ, ТРАУ и ТРАВ, их абсолютными показателями.

Результаты кластеризации параметров стабилометрии при проведении пробы «глаза закрыты, зубы сомкнуты» представлены в табл. 4 и на рис. 4.

В основном компонентами кластера 1 явились абсолютные параметры TPEB и EB. Также в состав кластера 1 вошли параметры скорость ОЦД ТРАВ и TPAУ. Кластер 2 образован абсолютными параметрами TPAB и TPAУ. Кластер 3 состоит в основном из относительных и частотных характеристик стабило-

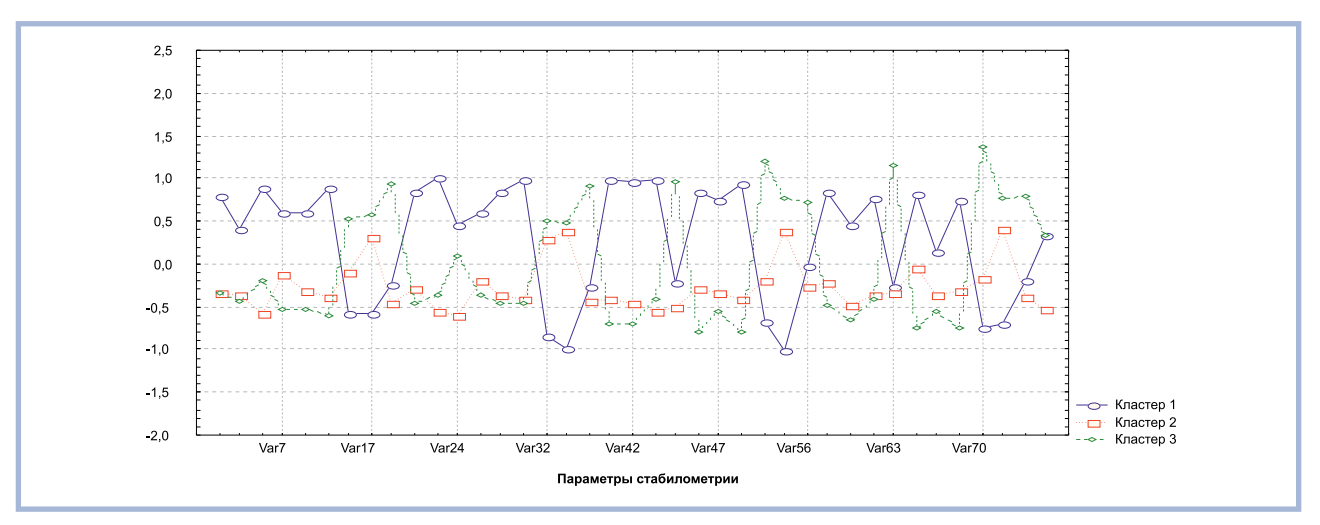


Рис. 3. График кластеризации параметров стабилометрии при пробе «глаза открыты, зубы сомкнуты».

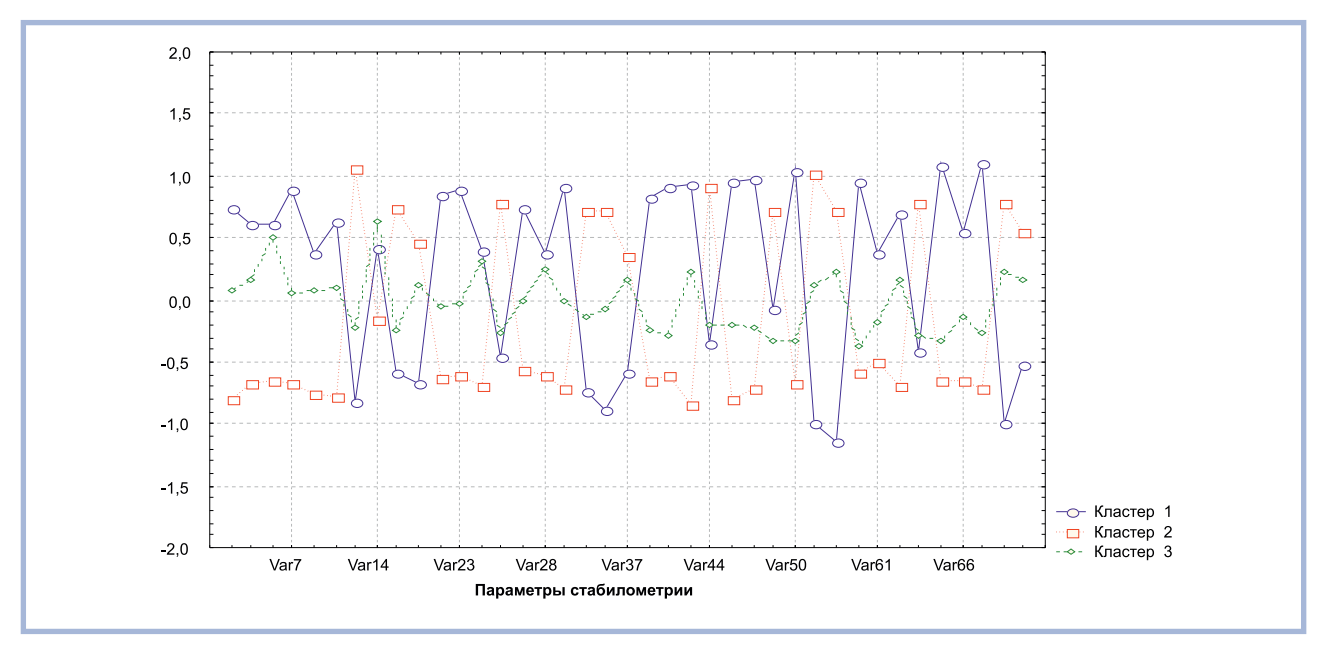


Рис. 4. График кластеризации параметров стабилометрии при пробе «глаза закрыты, зубы сомкнуты».

метрии. Как в первых двух пробах, данный кластер сформирован относительными и частотными параметрами стабилометрии всех четырех используемых в исследовании методик. В сравнении с пробой «глаза открыты, зубы сомкнуты» дистанция компонентов всех трех кластеров от его центра увеличилась при проведении пробы «глаза закрыты, зубы сомкнуты».

Таким образом, в результате проведенного статистического анализа установлено, что наиболее целесообразно использовать в практике абсолютные параметры стабилометрии ЕВ и ТРЕВ, относительные и частотные характеристики стабилометрии менее информативны.

Выводы

1. Результаты кластеризации свидетельствуют, что методики стабилометрии EB, TPEB, TPAB,

ТРАУ имеют практически одинаковую диагностическую информативность.

- 2. Наиболее объективными параметрами стабилометрии являются абсолютные и относительные параметры стабилометрии, что обосновывает необходимость их применения в клинической практике. Частотные и амплитудные параметры стабилометрии не имеют диагностического значения
- 3. Результаты кластеризации параметров стабилометрии при пробе «глаза открыты, нижняя челюсть в свободном положении» могут быть использованы как исходные значения, относительно которых следует интерпретировать результаты исследования при проведении других проб.
- 4. Проба «глаза закрыты, зубы сомкнуты» позволяет уточнить влияние окклюзии зубов на постуральную устойчивость.

Таблица 4. Результаты кластерного анализа параметров стабилометрии — состав 3 кластеров (проба «глаза закрыты, зубы сомкнуты»)

Параметр	Обозначение (еди- ница измерения)	Методика	Удаленность от центра кластера
Кластер 1			
Среднеквадратическое отклонение ОЦД во фронтальной плоскости	<i>x</i> (мм)	TPEB	0,697
Среднеквадратическое отклонение ОЦД в сагиттальной плоскости	<i>y</i> (мм)	TPEB	0,747
Скорость ОЦД	V(mm/c)	TPEB	0,614
Амплитуда 1-го максимума спектра по фронтальной составляющей	Ха1 (мм)	TPEB	0,701
Амплитуда 1-го максимума спектра по сагиттальной составляющей	<i>Ya</i> 1 (мм)	TPEB	0,565
Площадь статокинезиограммы 90	S90 (MM ²)	TPEB	0,522
Среднеквадратическое отклонение ОЦД во фронтальной плоскости	<i>x</i> (мм)	EB	0,705
Среднеквадратическое отклонение ОЦД в сагиттальной плоскости	<i>y</i> (мм)	EB	0,615
Скорость ОЦД	V(mm/c)	EB	0,659
Амплитуда 1-го максимума спектра по фронтальной составляющей	Ха1 (мм)	EB	0,745
Амплитуда 1-го максимума спектра по сагиттальной составляющей	<i>Ya</i> 1 (мм)	EB	0,638
Площадь статокинезиограммы 90	S90 (mm²)	EB	0,518
Скорость ОЦД	V(mm/c)	ТРАУ	0,678
Скорость ОЦД	V(mm/c)	TPAB	0,667
Кластер 2			
Частота 1-го максимума спектра по вертикальной составляющей	<i>XfZ</i> 1 (Гц)	TPEB	0,903
Среднеквадратическое отклонение ОЦД во фронтальной плоскости	<i>x</i> (мм)	ТРАУ	0,505
Среднеквадратическое отклонение ОЦД в сагиттальной плоскости	у (мм)	ТРАУ	0,439
Амплитуда 1-го максимума спектра по фронтальной составляющей	Ха1 (мм)	ТРАУ	0,485
Амплитуда 1-го максимума спектра по сагиттальной составляющей	<i>Ya</i> 1 (мм)	ТРАУ	0,524
Площадь статокинезиограммы 95	S95 (MM ²)	ТРАУ	0,369
Среднеквадратическое отклонение ОЦД во фронтальной плоскости	<i>x</i> (мм)	TPAB	0,526
Среднеквадратическое отклонение ОЦД в сагиттальной плоскости	<i>y</i> (мм)	TPAB	0,543
Амплитуда 1-го максимума спектра по фронтальной составляющей	Ха1 (мм)	TPAB	0,577
Амплитуда 1-го максимума спектра по сагиттальной составляющей	<i>Ya</i> 1 (мм)	TPAB	0,502
Площадь статокинезиограммы 95	S95 (MM ²)	TPAB	0,448
Кластер 3			
Отношение длины статокинезиограммы к ее площади	LFS90 (1/MM)	TPEB	0,624
Показатель стабильности	<i>Stab</i> (%)	TPEB	0,744
Среднее положение ОЦД во фронтальной плоскости в европейской СК	Хе (мм)	TPEB	0,863
Частота 1-го максимума спектра по фронтальной составляющей	Xfl (Гц)	EB	0,830
Отношение длины статокинезиограммы к ее площади	LFS90 (1/MM)	EB	0,735
Показатель стабильности	<i>Stab</i> (%)	EB	0,828
Среднее положение ОЦД во фронтальной плоскости в европейской СК	Хе (мм)	EB	0,884
Частота 1-го максимума спектра по фронтальной составляющей	X fм (Γ ц)	ТРАУ	0,813
Уровень 60% мощности спектра во фронтальной плоскости	<i>хf</i> 60% (Гц)	ТРАУ	0,948
Отношение длины статокинезиограммы к ее площади	<i>LFS</i> 95 (1/мм)	ТРАУ	0,685
Показатель стабильности	Stab (%)	ТРАУ	0,578
Частота 1-го максимума спектра по фронтальной составляющей	Xfl (Гц)	TPAB	0,858
Отношение длины статокинезиограммы к ее площади	<i>LFS</i> 95 (1/мм)	TPAB	0,713
Показатель стабильности	Stab (%)	TPAB	0,540

ЛИТЕРАТУРА

- 1. *Гурфинкель В.С.* Регуляция позы человека. М: Наука 1965; 189—195.
- Гурфинкель В.С., Левик Ю.С. Мышечная рецепция и обобщенное описание положения тела. Физиология человека 1999; 25 (1): 87—97.
- Гурфинкель В.С. Физиология двигательной системы. Успехи физиол наук 1994; 25: 2: 83—88.
- Леонов В.П. Обработка экспериментальных данных на программируемых микрокалькуляторах (прикладная статистика). Томск 1990, 270.
- Скворцов Д.В. Стабилометрия человека история, методология, стандартизация. Медицинские информационные системы. Таганрог 1995: 132—135.
- Скворцов Д.В. Теоретические и практические аспекты современной постурологии. Материалы I Международного симпозиума. Клиническая постурология, поза и прикус СПб 2004; 30—32.
- Gagey P.M., Weber B. Posturologie. Regulation et dereglements de la station debout. Paris: Masson 1995, 145.
- Jaïs L. Dysfonction cranio-mandibulo-rachidienne. In: P.M. Gagey, B. Weber (Eds) Entrées du système postural fin. Paris: Masson 1995; 88—116.
- Kerr F.W. Neuroanatomical substrates of nociception in the spinal cord. Pain 1975; 1: 325—356.
- NORMES 85. Editées par l'Association Française de Posturologie, Paris, France, 1985.